

Bacillus pasteurii Urease Gene의 생물방제균 *Bacillus subtilis* YBL-7내에서의 발현

김용수 · 김상달*

영남대학교 응용미생물학과

Genetic Transfer of *Bacillus pasteurii* Urease Gene into Antagonistic *Bacillus subtilis* YBL-7 against Root Rotting Fungi *Fusarium solani*

Kim, Yong-Su and Sang-Dal Kim*

Department of Applied Microbiology, Yeungnam University, Gyeongsan 712-749, Korea

Abstract — To investigate the possibility of genetic development for a multi-purpose strain of *Bacillus subtilis* YBL-7 against *Fusarium solani* causing root rot of many important corps, the plasmid pGU66 inserting urease gene of *Bacillus pasteurii* had been introduced into *Bacillus subtilis* YBL-7 by PEG-induced protoplast (PIP) transformation system. Protoplasts of *B. subtilis* YBL-7 were prepared by treating the cells with lysozyme (200 µg/ml) in hypertonic buffer (SMMP). The highest transformation frequency was achieved when cells of the strain with lysozyme at 42°C for 90 minutes. Optimal transformation was obtained using polyethylene glycol (MW 4000) at final concentration of 30% (V/V). The transformation frequency was increased proportionally to 1.2 µg of plasmid DNA. At best condition, the transformation frequency (transformants/regenerants/µg of DNA) for pGU66 was approximately 4×10^{-3} . Also, the urease gene was strongly expressed in the transformants of *B. subtilis* YBL-7 and maintained steadily. The antifungal ability of transformant was very similar to that of *B. subtilis* YBL-7.

미생물을 이용하여 식물병원균을 방제하고자 하는 생물학적 방제법의 필요성이 최근 크게 요구되고 있으며 이에 관한 몇몇 연구들이 보고되어 있다(1-6). 본인 등도 식물근부균 *Fusarium solani*의 생육을 강력히 길항할 수 있는 생물방제균 *Bacillus subtilis* YBL-7 군주를 저병해 인삼 경작지의 균권토양에서 분리 선발한 바 있고 그 길항기작이 저분자의 항생물질인 것으로 추정하였다(7). 그러나 보다 더 그 길항력이 강화되고 다기능화된 강력한 생물방제균을 얻기 위해서는 특히 타 길항기작인 가수분해효소(8-11)나 sidrophore(12-15)의 생산능력 등을 부가하는 등의 외부유전형질을 도입시키는 유전공학적 육종방법이 필수적이라고 사료된다.

Key words: *Bacillus subtilis* YBL-7, *Fusarium solani*, urease gene, pGU66, PEG-induced protoplast (PIP) transformation

*Corresponding author

*Bacillus*는 포자형성능과 단백질분해능 등 다양한 산업적 이점에도 불구하고 외부 유전자를 용이하게 받아들이지 않는다는 점이 염려되던 하나(16), 분리된 균부길항균 *Bacillus subtilis* YBL-7을 숙주로 해서 외부의 유용 유전형질을 도입 발현시키는 형질전환 방법을 확립, 최적화 한다면, 보다 효과적이고 강력한 다기능의 생물방제균으로 개발할 수 있으리라고 생각된다.

본 연구에서 우선 도입하고자한 외부 유전자로는 본인 등이 이미 *Bacillus-E. coli* shuttle vector인 pGR 71의 HindIII site에 삽입하여 *E. coli*내에서 발현시킨 *B. pasteurii*의 urease gene을 함유한 pGU66(16)이었으며, 이를 이용하여 생물방제균 *Bacillus subtilis* YBL-7에 외부의 유용 효소생산형질을 도입 발현시키고자 하였고, 아울러 다기능적이고 강력한 생물방제균으로의 유전공학적 육종방법을 개발하는데 필요한 몇가지 형질전환의 최적조건을 조사하였다.

재료 및 방법

숙주균주 및 urease 유전자

본 연구에 사용한 균주는 균부균 *F. solani*의 생육을 길항하는 생물방제균으로서 저병해 인삼경작지로부터 분리 선발되어 동정된 *B. subtilis* YBL-7(7)을 숙주 균주로 사용하였고, 도입하고자 한 외래 urease 유전자는 김 등이(16) *B. pasteurii*의 urease 유전자를 *Bacillus-E. coli* shuttle vector인 pGR71(Km^r , Neo^r , Cm^r)의 *HindIII* site에 삽입하여 *E. coli*내에서 클로닝시킨 pGR66(Fig. 1)을 CsCl density gradient ultracentrifugation으로 정제하여 형질전환에 사용하였다.

배지 및 배양조건

기본생육배지로는 Nutrient broth(NA)를 사용하였고, 형질전환시에는 Penassay broth에 *B. subtilis* YBL-7 종배양액을 1%되게 접종하여 30°C에서 160 rpm으로 진탕배양하였다. 또한 protoplast regeneration medium은 mannitol regeneration agar(17)를 사용하였다. 억제능 측정을 위한 억제물질 생산용 medium은 McKeen's medium(18)을 사용하였으며 식물근부균 *F. solani*의 배양에는 potato dextrose broth(PDB)를 사용하여 30°C에서 160 rpm으로 진탕 배양하였다.

원형질체 제조 및 재생

B. subtilis YBL-7의 원형질체(protoplast) 제조는 50 ml의 Penassay broth에 종배양액을 1%되게 (OD_{575} : 0.02) 접종하여 37°C에서 진탕배양하여 균을 회수하고 5 ml의 SMMP(19)로 혼탁시킨 후 lysozyme (최종농도 200 $\mu\text{g}/\text{ml}$)을 첨가하여 제조하였으며, 원형질체 재생은 mannitol regeneration agar medium에서 5일간 배양하여 재생시켰다.

형질전환

B. subtilis YBL-7의 PEG-induced protoplast (PIP) transformation은 Chang과 Cohen의 방법(19)을 따라 행하였다.

형질전환체로부터 플라스미드 분리 및 확인

Urease 유전자를 함유 한 pGU66에 의해 형질전

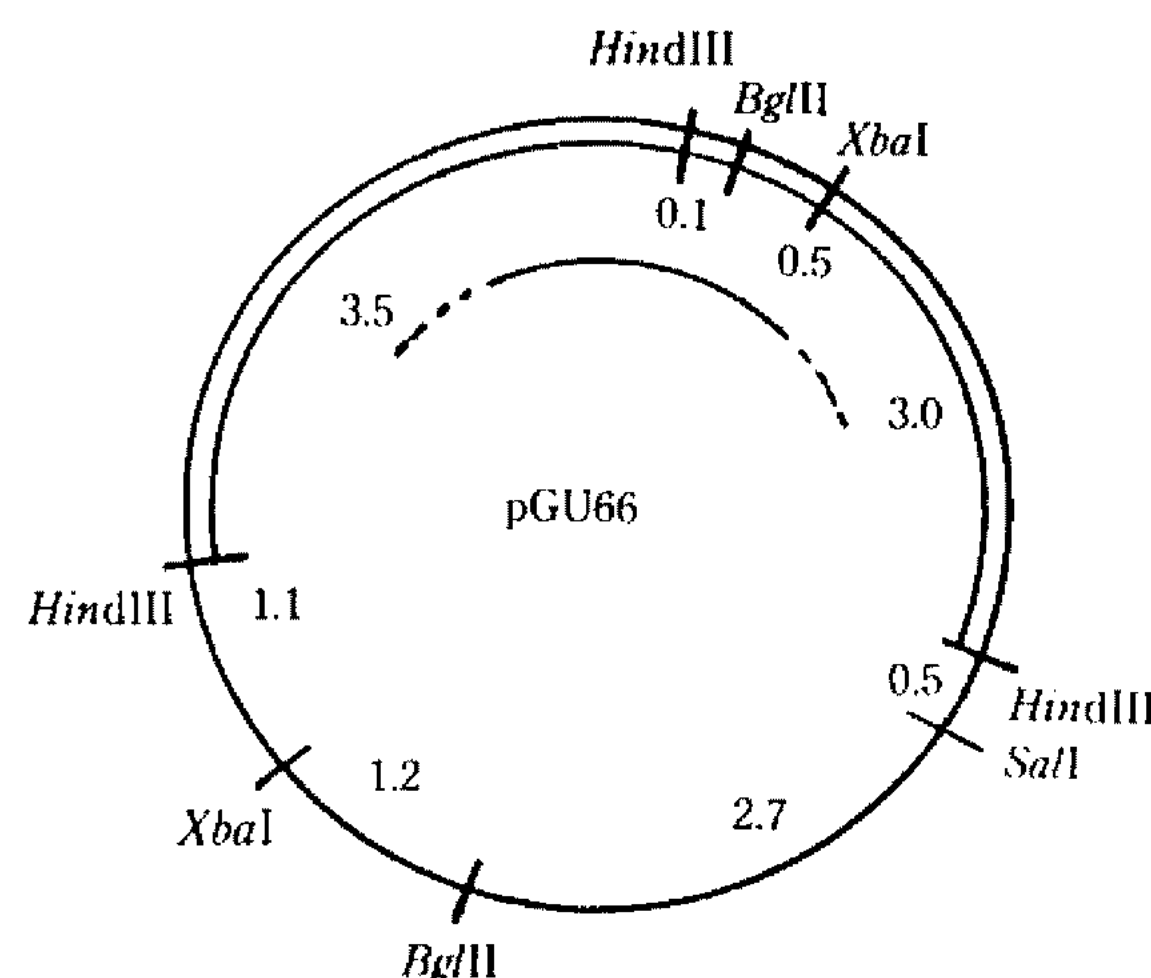


Fig. 1. Physical restriction map of plasmid pGU66 carrying urease gene.

Single line: vector (pGR71) of 5.5 Mdal, and double line: the inserted fragment of 7.1 Mdal.

환된 형질전환체로부터 플라스미드의 분리는 Birn-bom 등의 방법(20)을 따랐으며 0.8% horizontal agarose gel상에서 60 V로 약 3시간 전기영동하여 ethyldium bromide로 15분간 염색 후 UV투사등(TR-302, 302 nm)으로 관찰하였다.

형질전환체의 Urease 활성측정

Urease 유전자가 삽입된 pGU66으로 형질전환된 형질전환체내에서 발현되는 urease 활성은 Nesslerization method(21)와 urea R broth(16)을 사용하여 조사하였다.

식물근부균 *F. solani*에 대한 억제능 측정

생물방제균 *B. subtilis* YBL-7과 pGU66으로 형질전환된 형질전환체의 억제능을 비교하기 위해서 McKeen's medium에 *B. subtilis* YBL-7과 형질전환체를 일정하게 접종하여 30°C에서 84시간 진탕배양한 다음 그 원침상등액을 Amicon(centriprep 10)으로 분리하여 얻은 저분자 물질을, 미리 약 $1.0 \times 10^7/\text{ml}$ 의 *F. solani* chlamydospore로 3일간 전배양된 2.46% PDB에 첨가시켜 30°C에서 4일간 배양하면서 여과(Toyo filter paper No. 2), 건조하여 그 균체량을 비교 분석하였다.

결과 및 고찰

형질전환체의 Urease 생산

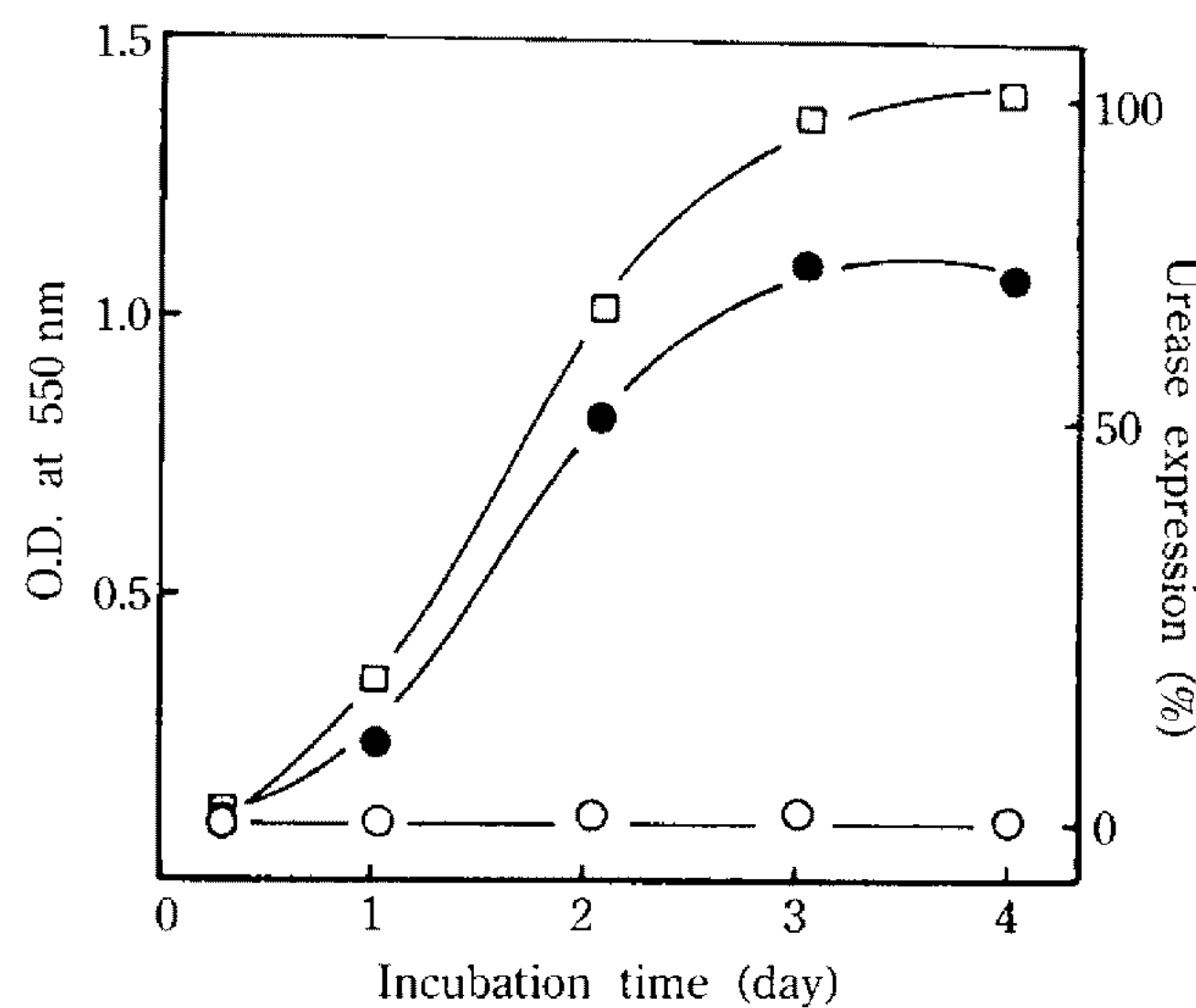


Fig. 2. The ability of urease-expression in the transformant of *B. subtilis* YBL-7 with pGU66.

Exponentially growing cells of *B. subtilis* YBL-7 transformant and *E. coli* HB101 carrying pGU66 were inoculated into the urea R broth containing 2% urea and incubated at 37°C for 4 days. The urease-expression was estimated by spectrophotometric assay at 550 nm. Symbol: (○—○); *B. subtilis* YBL-7, (●—●); Transformant by pGU66 and (□—□); *E. coli* HB101 carrying pGU66.

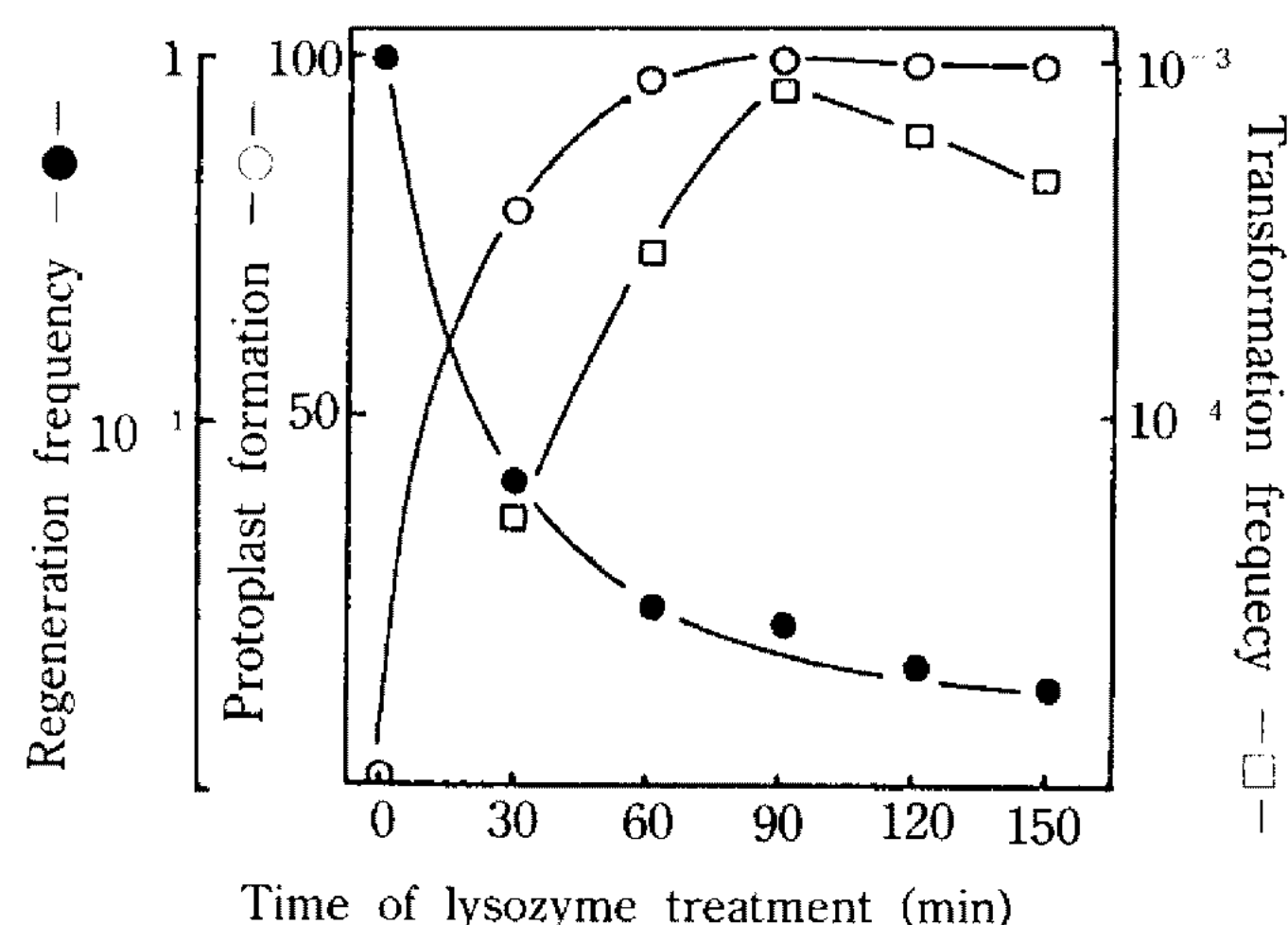


Fig. 3. Kinetics of protoplast formation and regeneration of *B. subtilis* and its transformation with pGU66. Middle log phase cells of *B. subtilis* YBL-7 were inoculated in SMMP containing lysozyme (final conc. of 200 µg/ml) at 42°C for 30, 60, 90, 120 and 150 min. Each sample was exposed to pGU66 (0.5 µg) followed by the addition of 40% PEG solution.

Symbols: (○—○); protoplast formation (%) = [1-(osmotically stable cells/input bacteria)] × 100, (●—●); regeneration frequency = regenerants/(input bacteria-osmotically stable cells) and (□—□); Transformation frequency = transformants/protoplasts.

Urease 유전자를 내재하는 pGU66으로 형질전환 시킨 생물방제균 *B. subtilis* YBL-7의 형질전환체가 urease 유전자를 정상적으로 발현시키는지를 조사하기 위해 chloramphenicol의 최종농도를 20 µg/ml로 하여 첨가시킨 urea R broth에서 4일간 배양하면서 생성되는 적색도를 흡광도 550 nm에서 측정한 결과는 Fig. 2와 같다. 이 결과에서 보는 것과 같이 urease 유전자를 함유한 pGU66에 의해 형질전환된 *B. subtilis* YBL-7에서도 urease가 정상적으로 발현되었다. 그리고 *E. coli*(pGU66)의 urease 생성력과 비교하여 보았을 때 약 75%의 발현력을 나타냈으며 8시간 이후 증가하여 3일 후 다소 감소하였는데 이는 37°C의 배양온도가 *B. subtilis* YBL-7에는 비교적 높은 온도이었기 때문인 것으로 생각되어진다.

Lysozyme 처리시간의 영향

원형질체의 재생율이 세포벽의 제거 정도에 따라 크게 영향을 받으므로 PEG-induced protoplast transformation이 원형질체형성 정도와 관계있다는 보고(22)에 따라 생물방제균 *B. subtilis* YBL-7의 형질전환에서도 원형질체형성 및 재생율과 그에 따른 형질

전환율에 미치는 상호관계를 알아보기로 하였다. 50 ml의 Penassay broth에 1%되게 종배양액을 접종하여 중기대수기(OD_{575} : 0.6)가 될 때까지 배양한 균체를 200 µg/ml의 lysozyme을 함유한 SMMP에서 42°C, 80 rpm으로 시간별로 처리한 다음 각 처리구의 원형질체 형성 및 재생율과 형질전환율을 조사해 본 결과 Fig. 3에서 보는 것과 같이 생물방제균 *B. subtilis* YBL-7의 원형질체 형성은 60분 이후 거의 완전한 원형질체를 형성하였고 재생율은 lysozyme 처리 후 계속 감소하여 10^{-2} 범위의 재생율을 나타났는데, 이 결과는 2 mg/ml의 lysozyme을 처리하여 2시간 후 10~25%의 생존세포를 얻었다는 Chang 등의 보고(19)와 재조합 플라스미드를 사용한 *B. subtilis* 원형질체의 형질전환 실험(17)의 12.8%보다는 낮은 빈도이었지만 250 µg/ml의 lysozyme을 사용하여 45분 처리 후 0.4~0.5%의 재생율을 나타냈다는 Akamatsu의 보고(23)와 *Bacillus* species의 원형질체가 1.0×10^{-4} ~ 6.2×10^{-3} 범위에서 재생되었다는 결과(22)보다 높은 재생율을 나타내었다. 또한 각 lysozyme 처리 시간에 대한 형질전환율은 완전한 원형질체형성이

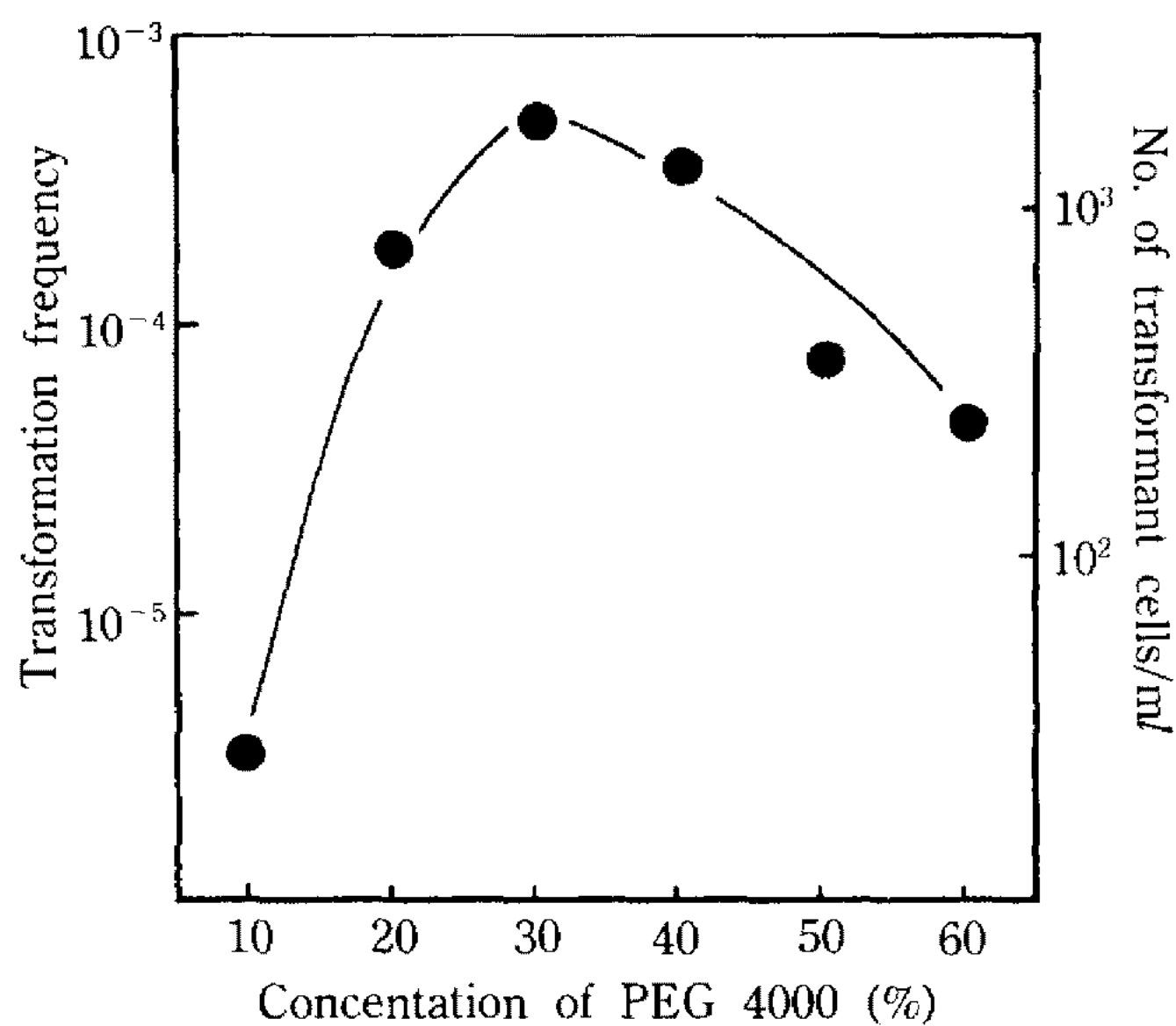


Fig. 4. Effect of PEG concentration on the transformation of *B. subtilis* YBL-7 with pGU66 DNA.

The pGU66 DNA (500 ng) was added to protoplasts of *B. subtilis* YBL-7 (6.42×10^6 /ml) at various PEG 4000 concentrations (V/V).

형질전환 효율에 필수적이라는 보고(22)와 자극성이 적은 lysozyme 처리과정에서 처리시간을 연장한 경우보다는 재생율은 높으나 PEG-induced fusion의 빈도가 낮다는 결과(23)와 비슷하게 *B. subtilis* YBL-7의 원형질체 형질전환율도 30분 이후 증가하다 90분에서 그 최고치를 나타내었으며 이후 처리시간의 연장은 오히려 감소하였다. 이로 미루어 보아 본 생물방제균 *B. subtilis* YBL-7의 PEG-induced protoplast(PIP) transformation에서 lysozyme 처리시간은 90분에서 최적의 효율을 나타내었다. 이때 재생빈도 (regeneration frequency)는 약 2.3%이었으며, pGU 66에 의한 형질전환빈도(transformation frequency)는 8.31×10^{-4} (transformants/regenerants)로 나타났다.

PEG 농도의 영향

일반적으로 PIP transformation에 이용되는 polyethylene glycol(PEG)가 PIP transformation을 유도하는 확실한 기작은 밝혀져 있지는 않으나 PEG가 DNA의 세포막 투과를 유도하거나 DNA 분자의 형태적 변화를 유도한다는 보고(24, 25)가 있으므로 본 실험에서도 *B. subtilis* YBL-7의 PIP transformation 과정 중에 PEG(M.W. 4,000)의 농도가 어떠한 영향을 미치는가를 조사해보았다. 그 결과 Fig. 4에서 보는

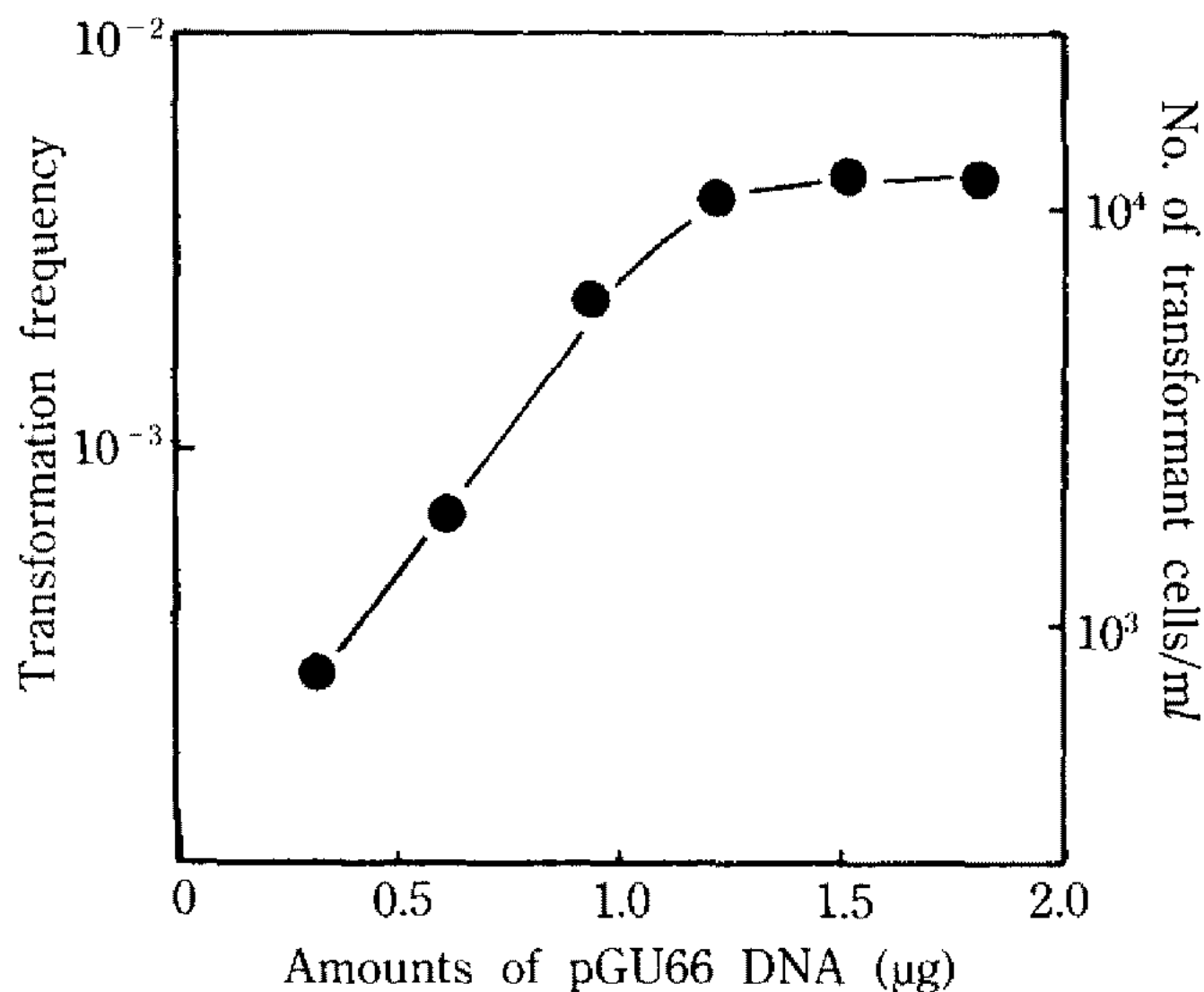


Fig. 5. PIP transformation frequency of *B. subtilis* YBL-7 protoplasts with pGU66 concentration.

The protoplasts were treated by varying concentrations of pGU66 DNA. The number of regenerants per ml in the transformation mixture was 2.6×10^6 .

것과 같이 최종농도가 30%되게 첨가하였을 때 최고의 형질전환빈도를 나타내었다. 이 결과는 *Streptomyces* (26), *Streptococcus lactis*(25)와 *Acholeplasma laidlawii*(27)의 PIP transformation에서의 각 최적 PEG 농도인 20%, 22.5%, 36%와는 약간의 차이가 있으나 *Bacillus* sp.의 형질전환시 최적 PEG 농도가 30%이라는 보고(26)와는 일치하는 결과이었다. 이로 미루어 보아 *B. subtilis* YBL-7의 PIP transformation에서 최적 PEG의 농도는 타 균종보다는 약간 높은 농도를 요구하였으나 *Bacillus* 균속의 PEG 요구 농도와는 동일한 농도에서 최적의 형질전환율을 얻었다.

플라스미드 DNA 농도의 영향

플라스미드 DNA 농도가 생물방제균 *B. subtilis* YBL-7 원형질체의 형질전환에 미치는 영향을 조사하기 위해 정제된 pGU66을 각 농도별로 첨가시켜 형질전환하여 보았다. 그 결과 Fig. 5에서 나타난 바와 같이 1.2 μg 이하의 농도에서는 플라스미드 DNA 첨가량과 비례하여 형질전환율이 증가하였으나, 그 이상으로 플라스미드 DNA을 첨가했을 때는 증가율이 현저히 감소하였다. 이 결과는 플라스미드 pTP4 DNA을 사용한 *Bacillus* 원형질체의 형질전환 연구(22)에서의 500 ng의 플라스미드 DNA를 첨가할 때 까지 형질전환빈도가 증가하다가 그 이상의 농도에서는 증가하지 않았다는 결과와는 약간의 차이가 있

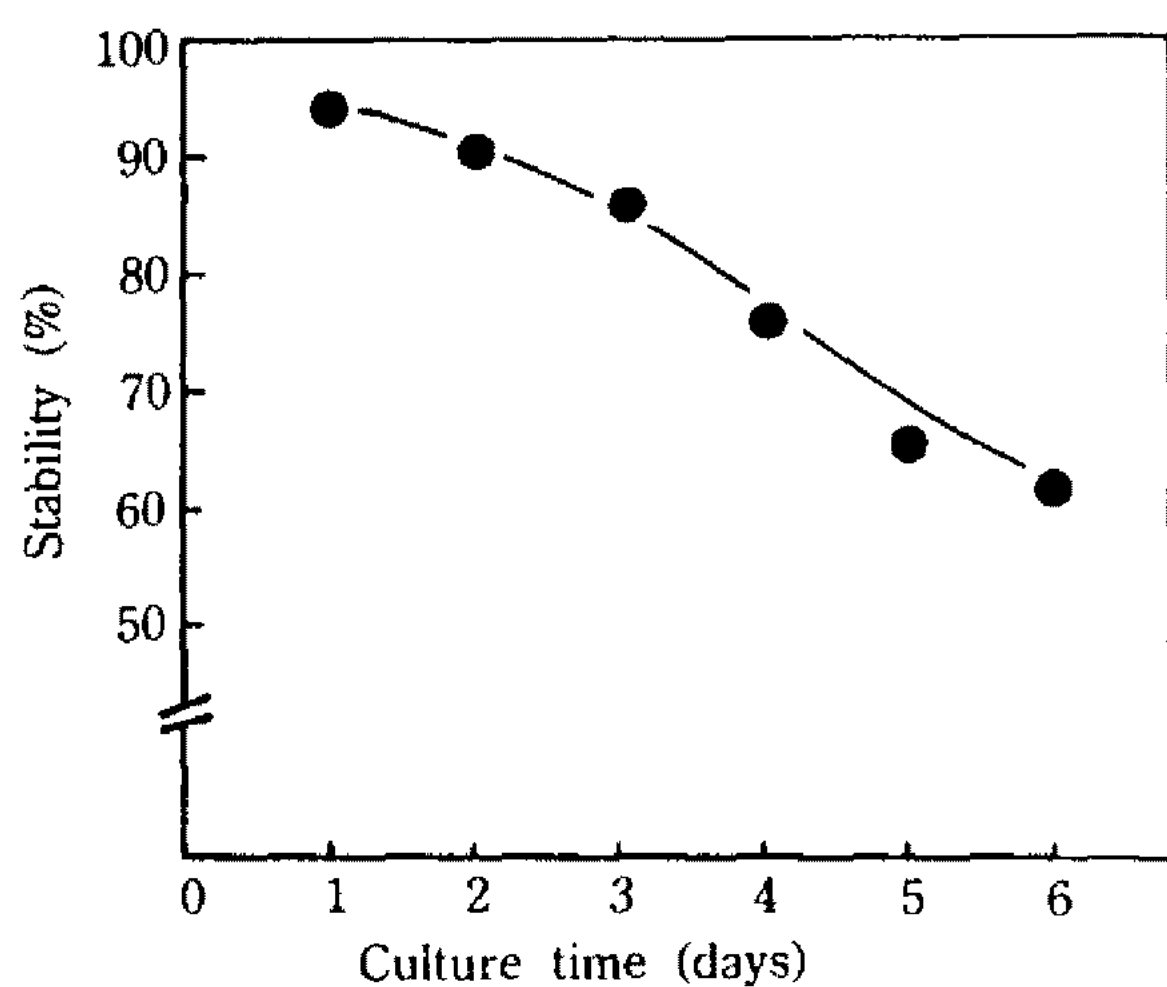


Fig. 6. Stability of pGU66 plasmid.

B. subtilis YBL-7 carrying pGU66 was subculture on NA plates with and without chloramphenicol (20 µg/ml).

으나 1 µg 이하의 농도에서 플라스미드 DNA 첨가량과 비례적으로 형질전환율이 증가하였다(19, 28, 29)와 1.0 µg 이상의 농도에서는 형질전환빈도가 그 이하의 농도에 비해 증가율이 감소하였다(29)는 Vorbjeva 등(29)의 실험결과와는 아주 유사한 결과이었다.

도입된 Urease 유전자의 안정성

형질전환된 transformant내에서의 urease 유전자를 함유한 pGU66의 안정성을 조사하기 위해 항생제가 첨가되어 있지 않은 nutrient broth에서 생육시키면서 24시간 간격으로 20 µg/ml의 chloramphenicol을 함유한 선택배지와 비선택배지에 일정비율로 희석하여 도말배양하였다. 이때 비선택배지에서 나타난 콜로니 수를 백분율로 하여 안정성을 조사한 결과 Fig. 6에서 나타난 것과 같이 6일 경과하여도 50% 이상의 안정성을 유지하였다. 이 결과는 생물방제균 *B. subtilis* YBL-7이 도입된 외부의 유전자를 비교적 안정하게 발현시킨다고 추정할 수 있다.

형질전환체의 억제능 측정

외부의 유전자 도입된 형질전환체와 숙주균주인 *B. subtilis* YBL-7의 식물근부균 *F. solani*에 대한 억제능을 비교해보기 위해 상기 실험방법으로 효소단백 등의 고분자물질을 제거한 저분자성 배양물질을 사용하여 그 억제력을 조사해 본 결과 Fig. 7에서 보는 것과 같이 숙주균주와 거의 동일한 억제력을 유지하

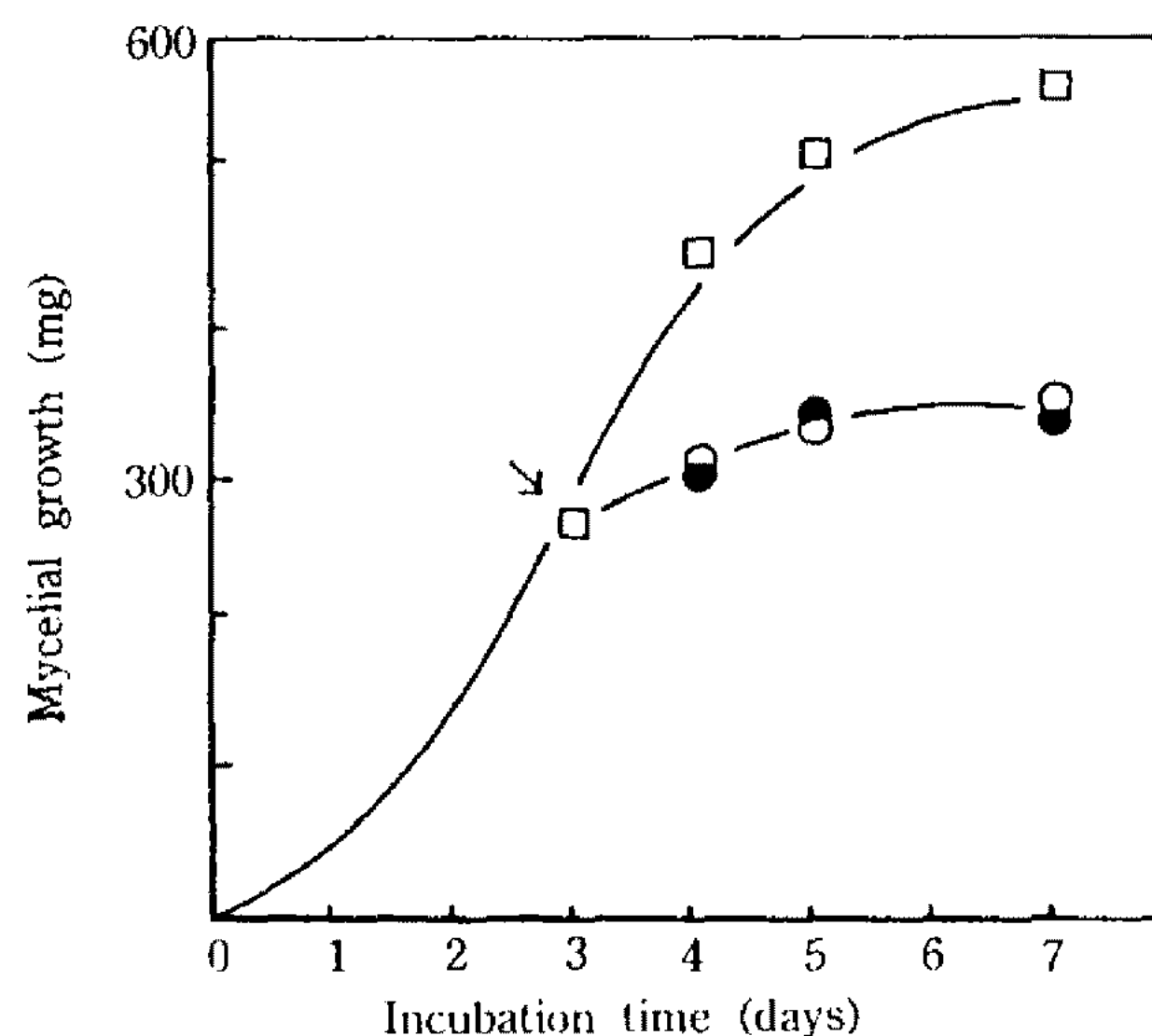


Fig. 7. Antifungal abilities of *B. subtilis* YBL-7 and its transformant on the mycelial growth of *F. solani*.

Symbol: (□—□); *F. solani*, (○—○); *F. solani* with culture of *B. subtilis* YBL-7 and (●—●); *F. solani* with culture of transformant by pGU66.

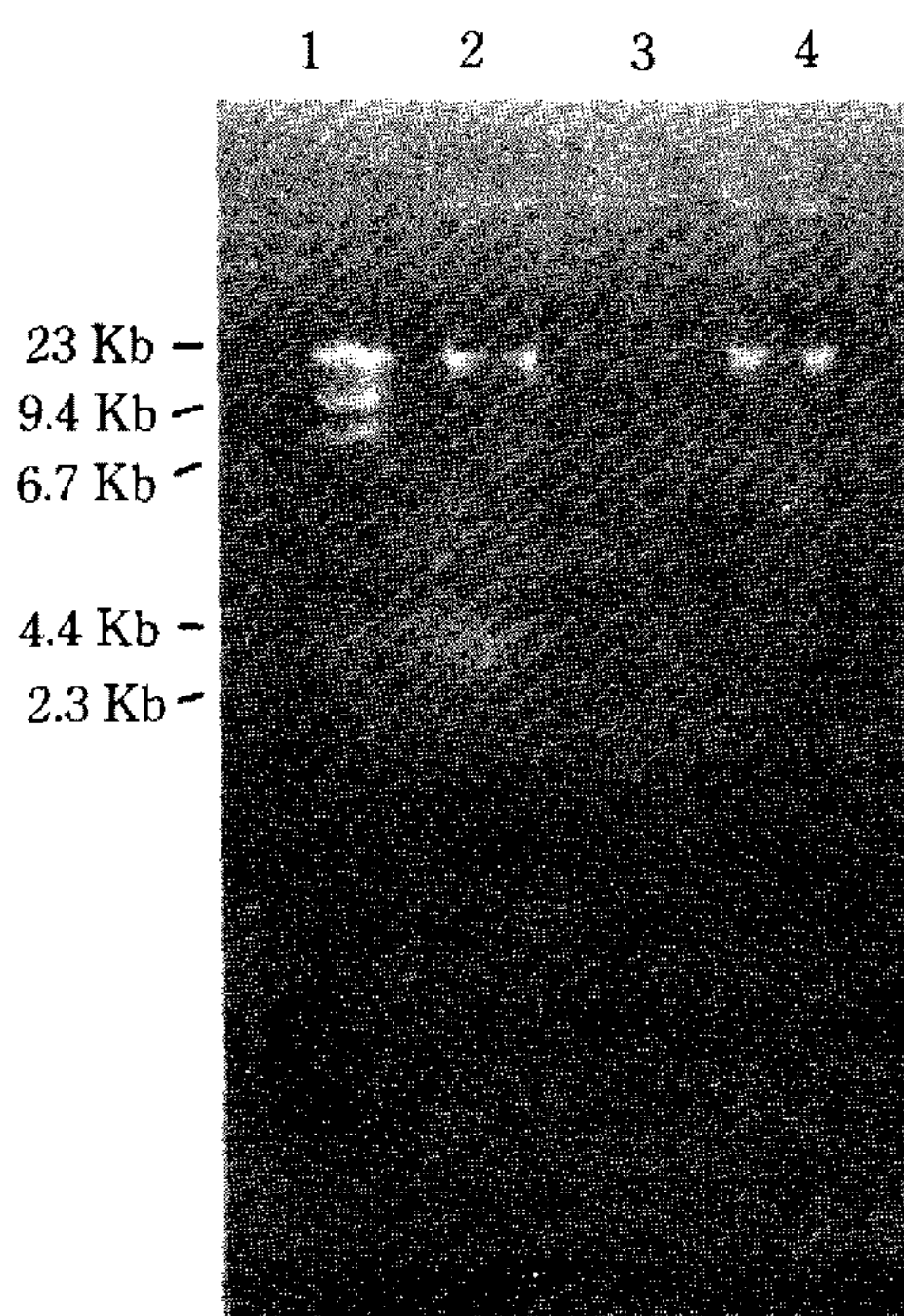


Fig. 8. Agarose gel electrophoresis of pGU66 plasmid DNA isolated from transformant of *B. subtilis* YBL-7. Lane 1: λ-DNA digested with HindIII, 2: pGU66 DNA, 3: *B. subtilis* YBL-7, and 4: transformant of *B. subtilis* YBL-7 with pGU66.

였으므로, 이 *B. subtilis* YBL-7을 host로 하여 가수분해효소 생산능이나 siderophore 생산능 등의 기타 억제능을 가진 유전자를 도입 발현시킴으로써 다목적의 생물방제균주로의 유전공학적 육종이 가능하리

라 사료된다.

상기 최적의 조건으로 형질전환하여 얻은 형질전환체를 Birnboim 등의 방법으로, 도입된 플라스미드를 분리하여 확인해 본 결과 Fig. 8에서 보는 것과 같이 그 플라스미드의 존재가 확인되었으며, 한편 1 μg 의 pGU66 DNA를 사용하여 형질전환시킬 경우 최적의 형질전환율은 재생된 원형질체당 약 5×10^{-3} 이었다.

요 약

식물근부병의 방제균으로 선발된 *Bacillus subtilis* YBL-7의 식물근부균 *Fusarium solani*에 대한 길항력을 유전공학적 조작에 의해 다목적으로 증강시킬 수 있는지를 타진하기 위해 외부유전자인 *Bacillus pasteurii*의 urease 유전자를 생물방제균 *B. subtilis* YBL-7내로 도입하고자 시도하였다. 외부 urease 유전자는 *B. pasteurii*의 urease gene을 shuttle vector인 pGR71의 *HindIII* site에 삽입하여 *E. coli*내에서 발현시킨 pGU66을 사용하여 형질전환시켰으며 이때의 최적 형질전환조건과 도입된 urease 유전자의 발현을 조사해 보았다. 그 결과 *B. subtilis* YBL-7의 원형질체를 200 $\mu\text{g}/\text{ml}$ 의 lysozyme으로 42°C에서 90분 처리하였을 때 그 형질전환율이 가장 높았으며, 플라스미드 DNA 첨가농도는 1.2 μg 까지는 증가하였으나 그 이상의 농도에서는 일정하였다. 또한 최종농도가 30% (v/v)의 PEG 4000를 사용한 경우에서 최적의 형질전환율을 얻을 수 있었으며, 상기의 최적조건으로 형질전환시켜 본 결과 약 5×10^{-3} 의 빈도를 나타냈다. 그리고 형질전환체에서 urease 생성력도 강하게 나타났으며 플라스미드 안정성도 비교적 높았다. Urease 유전자를 함유한 pGU66으로 형질전환된 형질전환체에서도 *F. solani*에 대한 항진균성 물질이 숙주균주와 동일하게 생성되었다.

참고문헌

1. Baker, R.: *Annu. Rev. Phytopathol.*, **6**, 263 (1968)
2. Henis, Y. and I. Chet: *Adv. Appl. Microbiol.*, **19**, 85 (1975)
3. Papavizas, G.C. and R.D. Lumsden: *Annu. Rev. Phytopathol.*, **18**, 389 (1980)
4. Blakeman, J.P. and N.J. Fokkema: *Annu. Rev. Phytopathol.*, **20**, 167 (1982)
5. Cook, R.J.: *Phytopathol.*, **75**, 25 (1985)
6. Baker, R.: *Biological control of plant pathogens*. Academic Press, Inc., 25 (1985)
7. 김용수, 임호성, 김상달: 식물근부균의 생육억제균 검색 및 억제균의 유전공학적 개발, 한국과학재단 연구보고서, 85 (1990)
8. Morrissey, R.F., E.P. Dugan and J.S. Koths: *Soil Biol. Biochem.*, **8**, 23 (1976)
9. Hadar, Y., I. Chet and Y. Henis: *Phytopathol.*, **69**, (1979)
10. Elad, Y., I. Chet and J. Katan: *Phytopathol.*, **70**, 119 (1980)
11. Lifshitz, R., M.Y. Windham and R. Baker: *Ecology and Epidemiology*, **76**, 720 (1986)
12. Neiland, J.B.: *Annu. Rev. Microbiol.*, **36**, 285 (1982)
13. Schroth, M.N. and J.G. Hancock: *Science*, **216**, 1376 (1982)
14. Scher, F.M. and R. Baker: *Phytopathol.*, **72**, 1567 (1982)
15. Neilands, J.B. and S.A. Leong: *Annu. Rev. Plant Physiol.*, **37**, 187 (1986)
16. Kim, S.D. and J. Spizizen: *Kor. J. Appl. Microbiol. Bioeng.*, **13**, 297 (1985)
17. Kim, S.D. and J. Spizizen: *Kor. J. Appl. Microbiol. Bioeng.*, **13**, 345 (1985)
18. McKeen, C.D., C.C. Reilly and P.L. Pusey: *Ecology and Epidemiology*, **76**, 136 (1986)
19. Chang, S. and S.N. Cohen: *Molec. Gen. Genet.*, **168**, 111 (1979)
20. Birnboim, H.C. and J. Doly: *Nucleic Acids Research*, **7**, 1513 (1979)
21. Norris, R. and K. Brocklehurst: *Biochem. J.*, **159**, 245 (1976)
22. Akamatsu, T. and J. Sekiguchi: *Agric. Biol. Chem.*, **46**, 1617 (1982)
23. Akamatsu, T. and J. Sekiguchi: *Agric. Biol. Chem.*, **45**, 2887 (1981)
24. Bibb, M.J., J.M. Ward and D.A. Hopwood: *Nature*, **294**, 398 (1978)
25. Kondo, J.K. and L.L. McKay: *Appl. Environ. Microbiol.*, **48**, 252 (1984)
26. Hopwood, D.A.: *Annu. Rev. Microbiol.*, **35**, 237 (1981)
27. Sladek, T.L. and J. Maniloff: *J. Bacteriol.*, **155**, 734 (1983)
28. Lévi, C., K. Fodor and P. Schaeffer: *Molec. Gen. Genet.*, **179**, 589 (1980)
29. Vorobjeva, I.P., I.A. Khmel and I. Alföldi: *FEMS Microbiol. Letters*, **7**, 261 (1980)

(Received June 12, 1991)